

# Schrödingerova rovnice v 1D - rozptylové stav

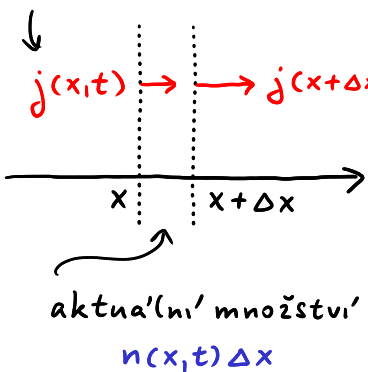
## 1 Tok pravděpodobnosti a rovnice kontinuity

- motivační přípomínka difuze a rovnice kontinuity



- odvození rovnice kontinuity:

tok v místě x a čase t



změna množství substance  $n \Delta x$  za čas  $\Delta t$

$$n(x,t+\Delta t)\Delta x - n(x,t)\Delta x = j(x,t)\Delta t - j(x+\Delta x,t)\Delta t$$

↓

přítěče      odteče

$$\left( \frac{\partial n}{\partial t} \Delta t \right) \Delta x = \left( - \frac{\partial j}{\partial x} \Delta x \right) \Delta t \rightarrow \frac{\partial n}{\partial t} + \frac{\partial j}{\partial x} = 0$$

(1D rovnice kontinuity)

- získali jsme 1D rovnici kontinuity, její 3D verze zní  $\frac{\partial n}{\partial t} + \nabla \cdot j = 0$

- v dalším odvodíme rovnici kontinuity pro hustotu pravděpodobnosti  $|\psi|^2$  a odhadíme tok  $j$

- formální cesta k rovnici kontinuity - sledujeme časovou derivaci  $|\psi|^2$  a zapojíme Schr.

$$\frac{\partial}{\partial t} |\psi|^2 = \frac{\partial}{\partial t} (\psi^* \psi) = \psi^* \frac{\partial \psi}{\partial t} + \psi \frac{\partial \psi^*}{\partial t}$$

časové derivace  $\psi$  si obstaráme z nestacionární Schrödingerovy rovnice a komplexně sdržene

$$i\hbar \frac{\partial}{\partial t} \psi = -\frac{\hbar^2}{2m} \nabla^2 \psi + V \psi \quad \xrightarrow{*} \quad -i\hbar \frac{\partial}{\partial t} \psi^* = -\frac{\hbar^2}{2m} \nabla^2 \psi^* + V \psi^*$$

$$\frac{\partial}{\partial t} |\psi|^2 = \frac{1}{i\hbar} \left( -\frac{\hbar^2}{2m} \psi^* \nabla^2 \psi + V \psi^* \psi \right) - \frac{1}{i\hbar} \left( -\frac{\hbar^2}{2m} \psi \nabla^2 \psi^* + V \psi \psi^* \right) = \frac{\hbar}{2m} (\psi \nabla^2 \psi^* - \psi^* \nabla^2 \psi)$$

pomočná uprava

$$\nabla^2 \psi^* \quad \nabla^2 \psi$$

$$\nabla \cdot (\psi \nabla \psi^* - \psi^* \nabla \psi) = \nabla \psi \cdot \nabla \psi^* + \psi \nabla \cdot \nabla \psi^* - \nabla \psi^* \cdot \nabla \psi - \psi^* \nabla \cdot \nabla \psi = \psi \nabla^2 \psi^* - \psi^* \nabla^2 \psi$$

vysíla rovnice kontinuity ve tvrnu  $\frac{\partial}{\partial t} |\psi|^2 + \nabla \cdot j = 0$

s tokem hustoty pravděpodobnosti  $j = \frac{\hbar}{2m} (\psi^* \nabla \psi - \psi \nabla \psi^*)$

Př. pro  $\psi(\vec{r},t) = A e^{i(kx - \omega t)}$  s homogenou  $|\psi|^2 = |A|^2$ :

$$\left. \begin{aligned} \psi^* \frac{\partial}{\partial x} \psi &= ik |A|^2 \\ \psi \frac{\partial}{\partial x} \psi^* &= -ik |A|^2 \end{aligned} \right\} j = \frac{\hbar k}{m} |A|^2 \quad (\text{lze číst jako rychlosť } \times |\psi|^2)$$

## • úhrnná pravděpodobnost

Schrödingerova rovnice zachovává úhrnnou pravděpodobnost (= unitární časový vývoj) odvození:

$$\frac{d}{dt} \underbrace{\iiint |\psi|^2 d^3r}_{\text{přes všeobjímající oblast}} = \iiint \frac{\partial |\psi|^2}{\partial t} d^3r = \iiint -\nabla \cdot \bar{j} d^3r = - \iint \bar{j} \cdot d\vec{S}$$

↑  
rovnice kontinuity  
↑  
Gaussova věta

hranice oblasti jsou dostatečně vzdáleny  $\rightarrow \bar{j} = 0$  a úhrnná P má tedy nulovou  $\frac{d}{dt}$

$\rightarrow$  je-li  $\iiint |\psi|^2 d^3r = 1$  na počátku, bude řešení Schr. r.  $\psi(\vec{r}, t)$  normované již navždy

## ② Rozptylové stavy v 1D - obecný pohled

motivace: - studium chování částic dopadajících na různé potenciálky bariéry  
- vyzdvihneme tunelování, tj. průnik bariérou, kterou by klas. částice nepřekonala

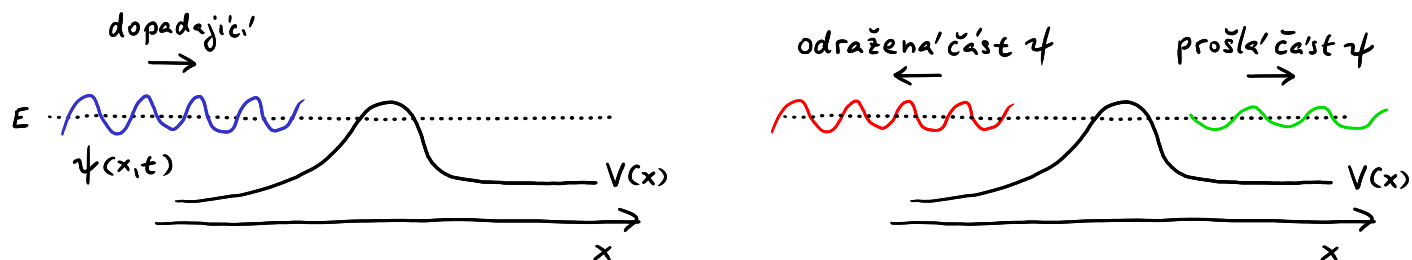
Př. tunelování elektronů oxidovou vrstvou na drať,  $\alpha$ -rozpad jádra

daleko od bariéry je dopadající, odražena a připadně prošla částice popsaná  $\psi(x, t)$  podobnou vlně (jako u volné částice),  $E$  tedy musí ležet nad asymptotickou hodnotou potenciálu (stačí z jedné strany)

Př.  $E > V_{-\infty}, V_\infty$  - dopad možný zleva i zprava, nastane odraz i průchod

$E > V_{-\infty}$  ale  $E < V_\infty$  - dopad možný jen zleva, dojde jen k odrazu

vlnové komponenty rozptylového stavu s určitou  $E$  - vlnová funkce  $\psi(x, t) = \psi(x) e^{-\frac{i}{\hbar} Et}$



- nelze normovat ( $\int |\psi|^2 dx$  diverguje), musel by se složit takto, pak ovšem zastoupeny různé energie  $E$

## • kvantifikace rozptylu - způsob využívající stacionární stavy vlnové povely

pracujeme se stacionární Schrödingerovou rovnici, v níž volíme energii dopadající částice  $E$  nad asymptotickou hodnotou potenciálu a hledáme stacionární stav s asymptoticky chováním nasledujícího typu (zde střílíme zleva a  $E > V_{-\infty}, V_\infty$ )

dopadající + odražená

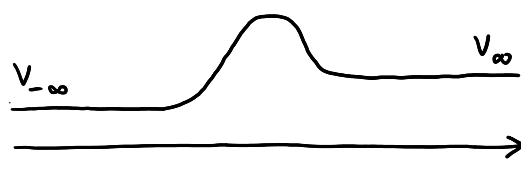
$$\Psi(x) \rightarrow e^{ikx} + R e^{-ikx}$$

$$k = \frac{\sqrt{2m(E-V_{-\infty})}}{\hbar}$$

prošla'

$$\Psi(x) \rightarrow T e^{ik'x}$$

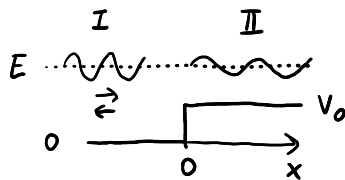
$$k' = \frac{\sqrt{2m(E-V_\infty)}}{\hbar}$$



- koeficienty  $R$  a  $T$  závisí na  $E$  (nebo  $k$ ) a získáme je řešením stacionární Schr.
  - v situaci s kontinuálně dopadající vlnou určíme pravděpodobnost průchodu a odrazu na základě toků hustoty pravděpodobnosti. (nemáme „kopečky“  $\propto 1/t^2$  jako v animaci)
- 
- $$P(\text{odraz}) = P_R = \frac{j_R}{j_0} = |R|^2 \quad P(\text{průchod}) = P_T = \frac{j_T}{j_0} = \frac{k'}{k} |T|^2$$
- (pro rovinatou vlnu je  $j = \frac{\hbar}{m} k \lambda \text{amplituda}^2$ )

### 3) Potenciálový schoď (velmi jednoduché díky jedinej duojici „sesívacích“ podmínek)

$$1) E > V_0$$

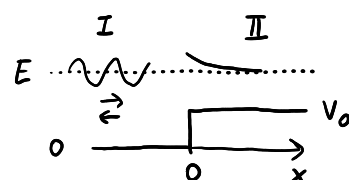


$$\Psi_I(x) = e^{ikx} + R e^{-ikx}$$

$$\Psi_{II}(x) = T e^{ik'x} \quad (\text{jen prošlá vlna})$$

$$k = \frac{\sqrt{2mE}}{\hbar} \quad k' = \frac{\sqrt{2m(E-V_0)}}{\hbar}$$

$$2) E < V_0$$



$$\Psi_I(x) = e^{ikx} + R e^{-ikx}$$

$$\Psi_{II}(x) = T e^{-ikx} \quad (\text{nulový tok } j_T \rightarrow P_T = 0)$$

$$x = \frac{\sqrt{2m(V_0-E)}}{\hbar}$$

$$\text{Ad 1)} \quad \Psi_I(0) = \Psi_{II}(0) \quad 1+R=T$$

$$\Psi'_I(0) = \Psi'_{II}(0) \quad ik(1-R) = ik'T$$

$$\left. \begin{array}{l} 2 = (1 + \frac{k'}{k})T \end{array} \right\} \quad T = \frac{2k}{k+k'}$$

$$\text{pravděpodobnosti:} \quad P_T = \frac{k'}{k} |T|^2 = \frac{4kk'}{(k+k')^2} = \frac{4}{\left(\sqrt{\frac{k}{k'}} + \sqrt{\frac{k'}{k}}\right)^2} \quad \left. \begin{array}{l} R = T - 1 = \frac{k-k'}{k+k'} \\ P_T + P_R = 1 \end{array} \right\} \quad (zachování P)$$

$$P_R = |R|^2 = \frac{(k-k')^2}{(k+k')^2}$$

explicitní výraz pro propustnost

$$P_T(E > V_0) = \frac{4kk'}{(k+k')^2} = \frac{4}{\frac{k}{k'} + \frac{k'}{k} + 2} = \frac{2}{1 + \frac{k^2 + k'^2}{2kk'}} = \frac{2}{1 + \frac{E - \frac{V_0}{2}}{\sqrt{E(E-V_0)}}} = \frac{2}{1 + \frac{1-\alpha}{\sqrt{1-\alpha}}} \quad \alpha = \frac{V_0}{E} < 1$$

$$\text{Ad 2)} \quad \Psi_I(0) = \Psi_{II}(0) \quad 1+R=T$$

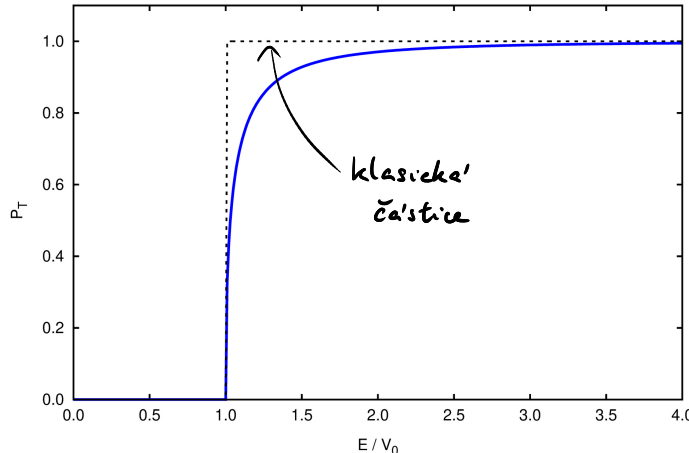
$$\Psi'_I(0) = \Psi'_{II}(0) \quad ik(1-R) = \alpha T$$

$$\left. \begin{array}{l} 1+R - \frac{ik}{\alpha} (1-R) = 0 \end{array} \right\}$$

$$\rightarrow R = \frac{\frac{ik}{\alpha} - 1}{\frac{ik}{\alpha} + 1} \quad P_R = |R|^2 = \frac{\left|\frac{ik}{\alpha} - 1\right|^2}{\left|\frac{ik}{\alpha} + 1\right|^2} = 1$$

pravděpodobnost odrazu musí v tomto případě vyjít rovna jedné a vskutku vysla

vyšledný graf propustnosti



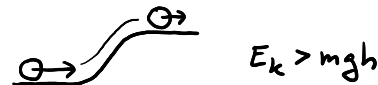
srovnání s chováním klasické částice

1)  $E < V_0$  odpovídá situaci



vždy se vrátí zpět  $\rightarrow P_T = 0$

2)  $E > V_0$  odpovídá situaci



výjede do kopce a pokračuje dále  $\rightarrow P_T = 1$

#### 4 Tunelový jev

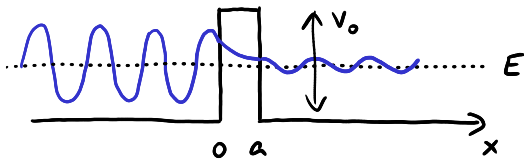
- průnik kvantové částice bariérou, kterou by klasická částice nepřekonala kvůli nedostatku energie



- sestavení příslušného řešení stacionární Schrödingerovy rovnice

I      II      III

bariéra s výškou  $V_0 > E$ , vlnová funkce prošlé napravo



$$\Psi_I(x) = e^{ikx} + R e^{-ikx}$$

$$k = \frac{\sqrt{2mE}}{\hbar}$$

$$\Psi_{II}(x) = A e^{i\alpha x} + B e^{-i\alpha x}$$

$$\alpha = \frac{\sqrt{2m(V_0-E)}}{\hbar}$$

$$\Psi_{III}(x) = T e^{ik(x-a)}$$

"sešívací" podmínky spojitosti a hladkosti:

$$\Psi_I(0) = \Psi_{II}(0) : 1 + R = A + B$$

$$\Psi_{II}(a) = \Psi_{III}(a) : A e^{i\alpha a} + B e^{-i\alpha a} = T$$

$$\Psi'_I(0) = \Psi'_{II}(0) : i k (1 - R) = i \alpha (A - B)$$

$$\Psi'_{II}(a) = \Psi'_{III}(a) : i \alpha (A e^{i\alpha a} - B e^{-i\alpha a}) = i k T$$

pro libovolné  $E$  lze nalezen koefficienty  $R, T, A, B$ , z koefficientu  $T$  se určí

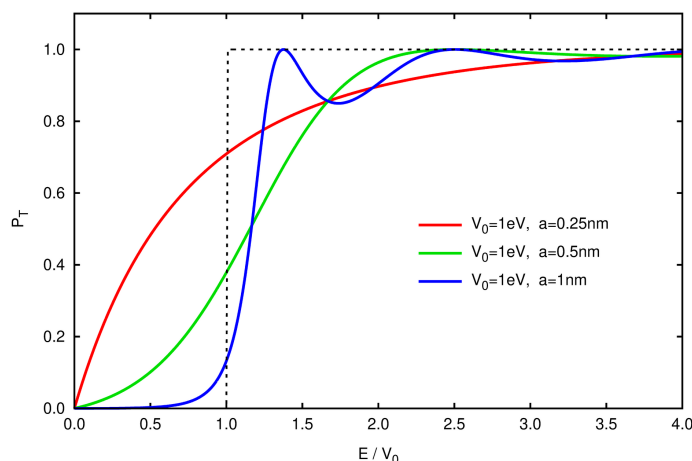
- pravděpodobnost průchodu (detailně na cvičení)

$$P_T = |T|^2 = \frac{1}{1 + \frac{1}{4} \left( \frac{2\alpha}{k} + \frac{k}{2\alpha} \right)^2 \sinh^2 \alpha a}$$

- pro malou proniknutelnou bariéru ( $\alpha a \gg 1$ )

klasická pravděpodobnost exponenciálně, v tomto režimu approximujeme:

$$\sinh^2 \alpha a = \frac{1}{4} (e^{2\alpha a} + e^{-2\alpha a})^2 \approx \frac{1}{4} e^{2\alpha a}$$



jedničku ve jmenovateli oproti  $e^{2\alpha a}$  zanedbaíme

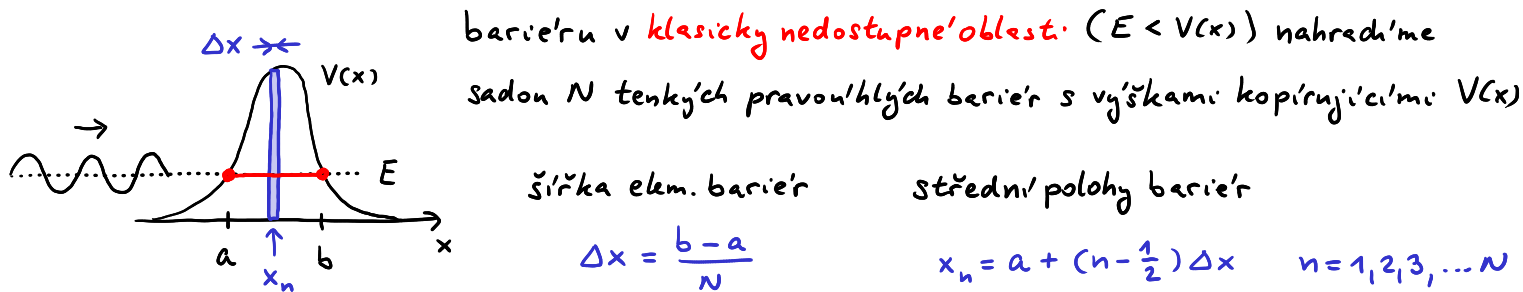
$$P_T \approx \frac{16}{(\frac{\alpha}{k} + \frac{k}{\alpha})^2} e^{-2\alpha a}$$

dále projednoduchost nahradíme prefaktor jedničkou  
(je to hrubé, ale pro řádový odhad vyhovuje)

$$\text{s těmito zjednodušeními: } P_T \approx e^{-2\alpha a} = e^{-\frac{2}{\hbar} \sqrt{2m(V_0 - E)} a}$$

- výraz odvozený pro pravouhlou bariéru často nedá ani řádově správný odhad pro reálného průběhu potenciálových bariér, v dalším pro tyto případy odvodíme Gamowova formulu

• Gamowova formule - odhad, ale pro malo propustné bariéry poměrně uspokojivý



propustnost sady bariér odhadneme jako součin jednotlivých propustností approximovaných  $e^{-2\alpha \Delta x}$

$$P_T \approx \prod_{n=1}^N P_T \left( x_n - \frac{\Delta x}{2}, x_n + \frac{\Delta x}{2} \right) \approx \prod_{n=1}^N e^{-2\alpha_n \Delta x} = \prod_{n=1}^N e^{-\frac{2}{\hbar} \sqrt{2m[V(x_n) - E]} \Delta x} = \\ = \exp \left\{ -\frac{2}{\hbar} \sum_{n=1}^N \sqrt{2m[V(x_n) - E]} \Delta x \right\} \rightarrow P_T \approx \exp \left\{ -\frac{2}{\hbar} \underbrace{\int_a^b \sqrt{2m[V(x) - E]} dx}_{G \text{ Gamovův faktor}} \right\}$$

Př.  $\alpha$ -rozpad jader

Př. studená emise (autoemise) - tunelování elektronů z kovu pod vlivem silného elektrického pole

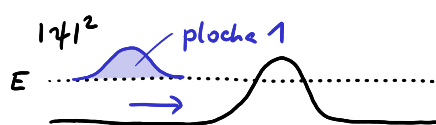
tunelování elektronů ve skenovací tunelovaci mikroskopii

viz prezentace

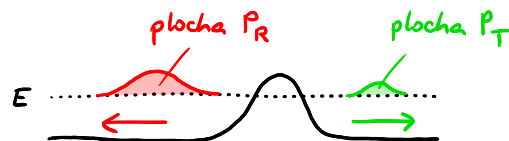
5 Metastabilní stavů, rezonance

Doplněk 1: bahky z rozptýlových stavů (pro jednoduchost  $V_\infty = V_{-\infty} = 0 \rightarrow k' = k$ )

- na zornější způsob využívají se superpozici řešení stac. Schr. s různými  $E$ , přímý odečet  $P_R, P_T$



pozdější čas:



- rozptýlované řešení parametrizované  $k = \frac{\sqrt{2mE}}{\hbar}$  je superponováno pomocí  $\int_{-\infty}^{\infty} dk$   
s užitím amplitud  $\phi(k)$  lokalizované okolo  $k_0$  (např. gaussovka  $\phi(k) \sim e^{-\frac{(k-k_0)^2}{4G_k^2}}$ )

vlevo od bariéry

$$\psi(x,t) = \frac{1}{\sqrt{2\pi}} \int_{-\infty}^{\infty} dk \phi(k) [e^{ikx} + R(k) e^{-ikx}] e^{-\frac{i}{\hbar} E_k t}$$

approximujeme  $R(k_0)$

amplitudová funkce

$$= \frac{1}{\sqrt{2\pi}} \int_{-\infty}^{\infty} dk \phi(k) e^{i(kx - \frac{E_k}{\hbar} t)} + R(k_0) \int_{-\infty}^{\infty} dk \phi(k) e^{i[k(-x) - \frac{E_k}{\hbar} t]} \approx \chi(x,t) + R(k_0) \chi(-x,t)$$

vpravo od bariéry

$$\psi(x,t) = \frac{1}{\sqrt{2\pi}} \int_{-\infty}^{\infty} dk \phi(k) T(k) e^{ikx} e^{-\frac{i}{\hbar} E_k t} \approx T(k_0) \chi(x,t)$$

approximujeme  $T(k_0)$

↑ normovaný bahýk jdoucí doprava ↑ odřízený bahýk jdoucí doleva

↖ prosly bahýk jdoucí doprava

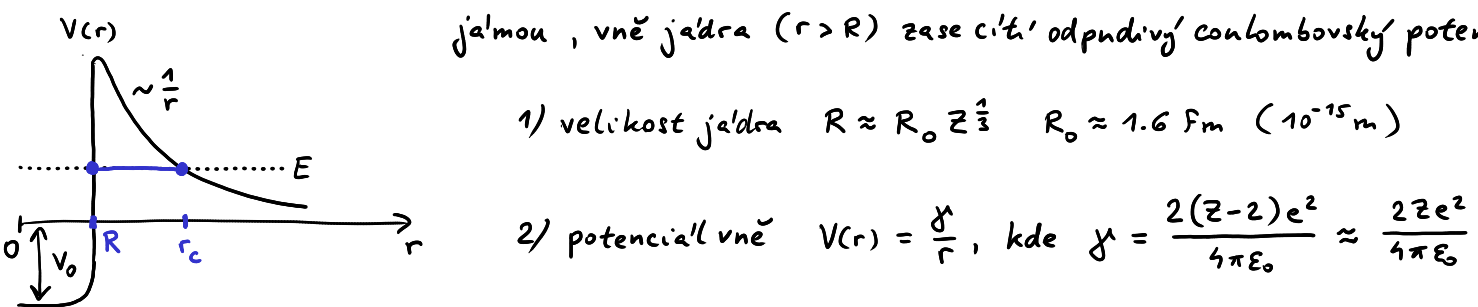
pravděpodobnost obsažena v  $A\chi(x,t)$ , kde  $A \in \mathbb{C}$  a  $\chi(x,t)$  je normovaný bahýk:

$$P = \int |A\chi|^2 dx = |A|^2 \int |\chi|^2 dx = |A|^2 \rightarrow P_R \approx |R(k_0)|^2$$

$$P_T \approx |T(k_0)|^2$$

Doplněk 2:  $\alpha$ -rozpad - detailní výpočet

- pro  $\alpha$ -částice, která chce jádro opustit je jádro potenciálně jatmou, vně jádra ( $r > R$ ) zase cítí odpuzující coulombovský potenc.

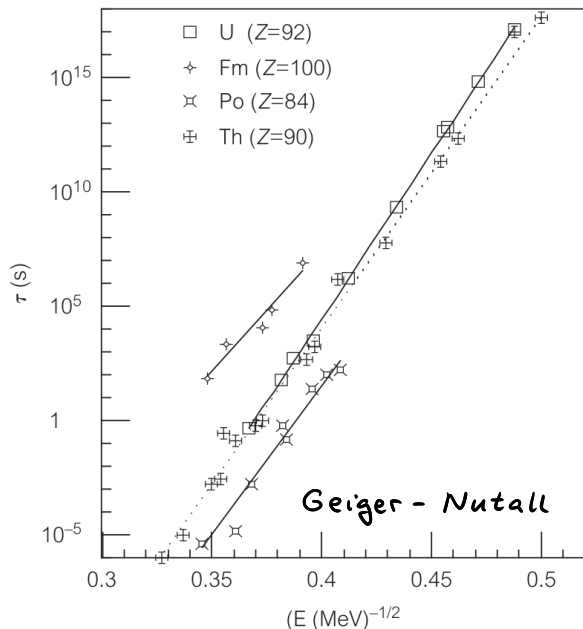


pravděpodobnost tunelovaní  $\alpha$ -částice ven z jádra podle Gamovovy formule

$$P_T = e^{-G} \quad G = \frac{2}{\hbar} \int_R^{r_c} \sqrt{2m(\frac{\gamma}{r} - E)} dr = \frac{2r_c}{\hbar} \sqrt{2mE} \left[ \frac{\pi}{2} - \arcsin \sqrt{\frac{R}{r_c}} - \sqrt{\frac{R}{r_c}(1 - \frac{R}{r_c})} \right]$$

pro  $R \ll r_c$ :

$$G \approx \frac{2r_c}{\hbar} \sqrt{2mE} \left( \frac{\pi}{2} - 2\sqrt{\frac{R}{r_c}} \right) = \frac{2}{\hbar} \frac{2Ze^2}{4\pi\epsilon_0 E} \sqrt{2mE} \left( \frac{\pi}{2} - 2\sqrt{R_0 Z^{\frac{1}{3}} E \frac{4\pi\epsilon_0}{2Ze^2}} \right) = \beta_1 \frac{Z}{\sqrt{E}} - \beta_2 Z^{\frac{2}{3}}$$



implementace do rozpadového zákona

$$\frac{dN}{dt} = -\frac{1}{\tau} N \quad \text{s řešením } N(t) = N_0 e^{-t/\tau}$$

$$\frac{1}{\tau} = \text{pravděpodobnost rozpadu za jednotku času} \\ = P_T \times \text{frekvence na razu} \quad F_0 = \left(\frac{2R}{v}\right)^{-1} \quad v = \frac{P}{m} = \frac{\sqrt{2mE}}{m}$$

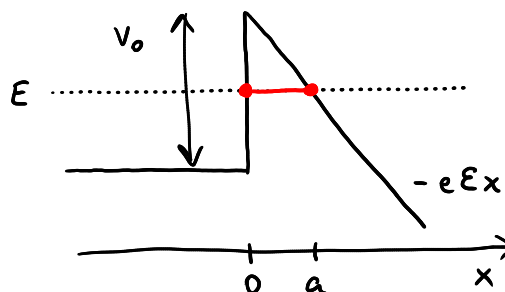
odtud

$$\tau = \frac{1}{F_0} e^G \rightarrow \ln \tau = \beta_1 \frac{Z}{\sqrt{E}} - \beta_2 Z^{\frac{2}{3}} - \ln F_0$$

slabá E-závislost  $\sim (\ln \sqrt{E})$

**Figure 11.17.** Semilog plot of  $\alpha$ -decay lifetime ( $\tau$  in seconds) versus  $1/\sqrt{E_\alpha}$  (in MeV) for four different radioactive decay series, the so-called Geiger–Nutall plot. The data are taken from a recent edition of the Chart of the Nuclides (Walker (1983).)

### Doplňek 3: výpočet pravděpodobnosti autoemise



$V_0$  – výstupní práce

$\varepsilon$  – intenzita elektrického pole

klasický zakázaný oblast  $x \in [0, a = \frac{V_0 - E}{e\varepsilon}]$

$$\text{Gamowův faktor} \quad G = \frac{2}{\hbar} \int_0^a \sqrt{2m(V_0 - e\varepsilon x - E)} dx = \frac{4\sqrt{2m} (V_0 - E)^{\frac{3}{2}}}{3\pi e \varepsilon} = \frac{\varepsilon_0}{\varepsilon}$$

$$\rightarrow \text{pravděpodobnost tunelování} \quad P_T \approx e^{-G} = e^{-\frac{\varepsilon_0}{\varepsilon}}$$

$$\rightarrow \text{tunelový proud} \quad I \sim e^{-\frac{\varepsilon_0}{\varepsilon}} \quad (\text{Fowler \& Nordheim, 1928})$$